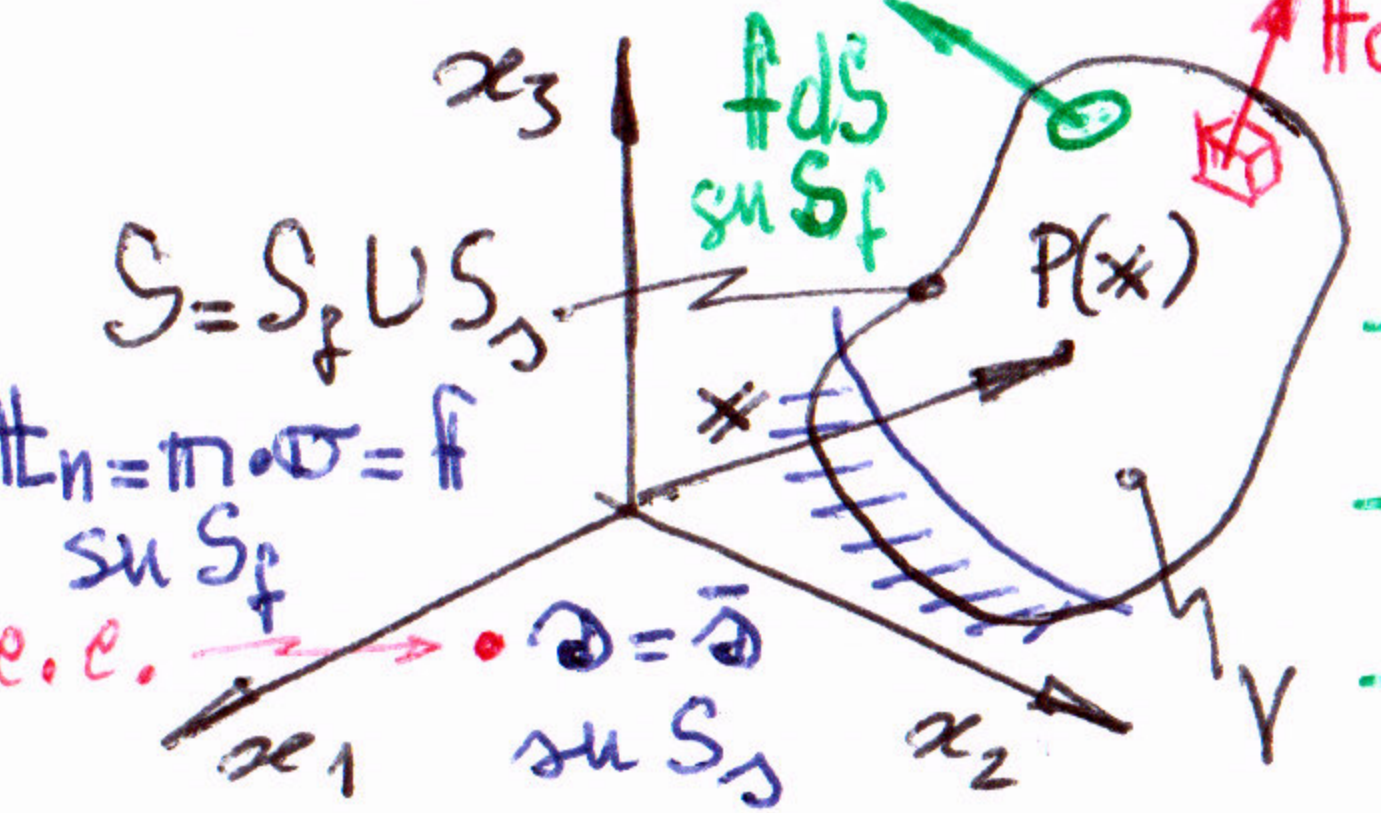


Bilancio equazioni/incognite:



- Incognite in $P(x) \in V$:
- $\sigma(x)$ campo di sforzo 6 comp. σ_{ij}
 - $\epsilon(x)$ campo di deformazione 6 comp. ϵ_{ij}
 - $u(x)$ campo di spostamento 3 comp. u_i
- 15 comp. incognite

- Anche eliminando gli spostamenti, tra le incognite (ad es. quando non è assegnato, un contorno vincolato - vedi ad es. pb. di DSV):

$6 \sigma_{ij} + 6 \epsilon_{ij} = 12$ comp. ti incognite vs. 3 eq. ni di equil. + 3 eq. ni di congruenza + 6 eq. ni costitutive = 12 eq. ni

- Bilancio raggiunto inserendo le 6 eq. ni del legame costitutivo - Esse esprimono il comportamento del materiale di cui è composto il corpo solido, indipendentemente dal fatto che gli sforzi siano equilibrati (statica dei continui) e che le deformazioni siano congruenti (cinematica dei continui).

legame deformazioni/spost. (per piccole deformazioni)

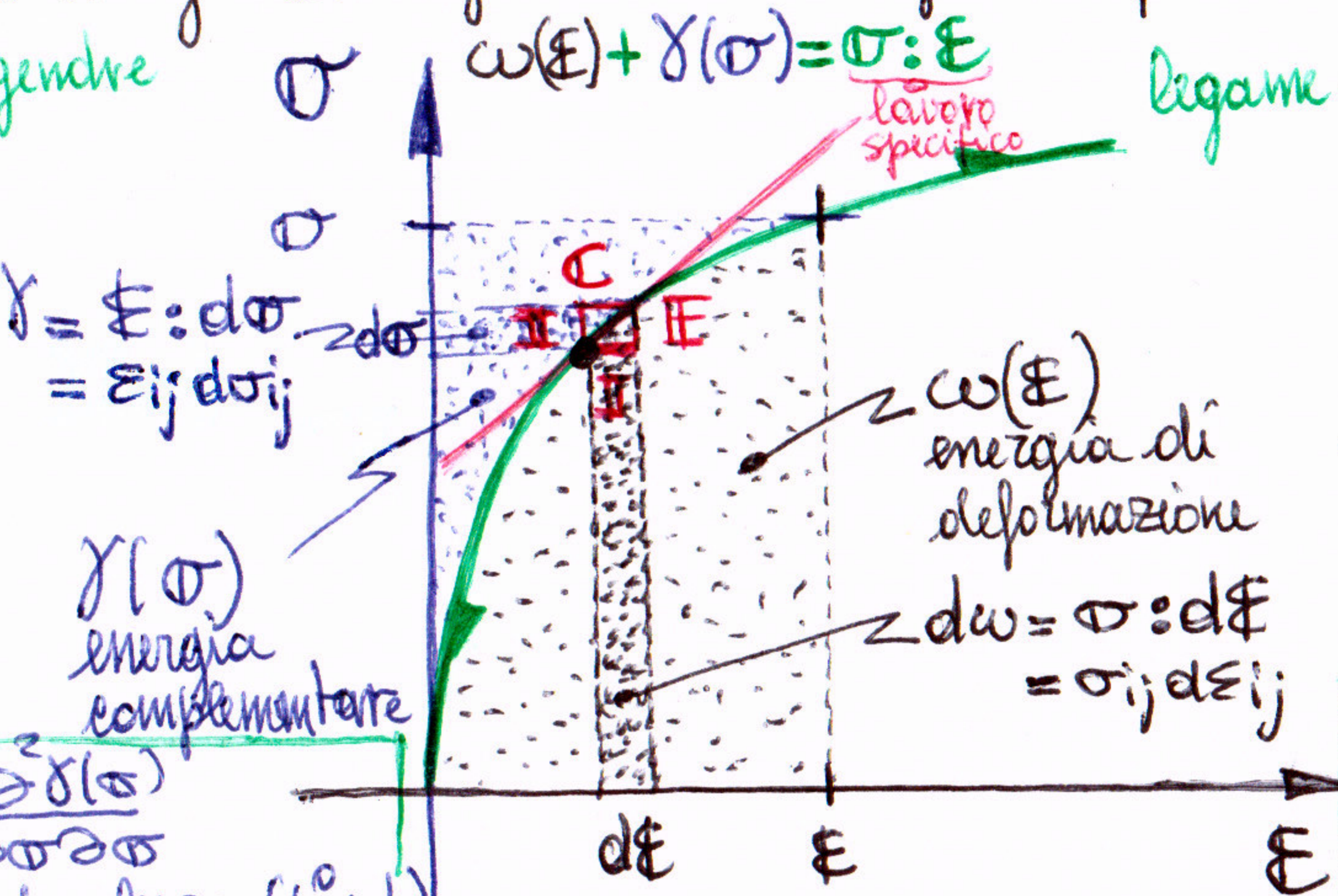
Equazioni in $P(x) \in V$:

- $\text{div } \sigma + F = 0$ eq. ni di equilibrio 3 $\sigma_{ij,i} + F_i = 0$
 - $\epsilon = \frac{1}{2} (\nabla u + \nabla u^T)$ eq. ni di congruenza 6 $\epsilon_{ij} = \frac{1}{2} (u_{i,j} + u_{j,i})$
 - $\epsilon = \epsilon(\sigma)$ o $\sigma = \sigma(\epsilon)$ eq. ni costitutive 6 $\epsilon_{ij} = \epsilon_{ij}(\sigma_{kl})$
- legame sforzi/deformazioni: comportamento meccanico del materiale 15 equazioni

Legame costitutivo iperelastico - Supponiamo l'Enza di un materiale a comportamento perfettamente reversibile (elastico, conservativo), dotato di energia di deformazione definita positiva, funzione dello stato di sforzo e deformazione:

Visione duale:

- $\gamma(\sigma) = \sigma : \epsilon - w(\epsilon)$
- $\gamma(\sigma) = \int_0^\sigma \epsilon : d\sigma > 0 \quad \forall \sigma \neq 0$
- $d\gamma = \epsilon : d\sigma = \frac{\partial \gamma}{\partial \sigma} : d\sigma$
- $\frac{\partial \gamma}{\partial \sigma} = \epsilon$ differenz. esatto



Legame olonoma (binario, percorso fisso) \Rightarrow in generale non lineare (v. ad es. gomme) (v. ad es. gomme) CNS: $\frac{\partial \sigma_{ij}}{\partial \epsilon_{kl}} = \frac{\partial \sigma_{kl}}{\partial \epsilon_{ij}}$

• $w(\epsilon) = \int_0^\epsilon \sigma : d\epsilon > 0 \quad \forall \epsilon \neq 0$

fine di stato, indipendente dal percorso (materiale conservativo) \Rightarrow F.m. potenziale di sforzo Green ~1839

$dw = \sigma : d\epsilon = \frac{\partial w}{\partial \epsilon} : d\epsilon$ (George Green)

$\gamma(\sigma) \rightarrow \epsilon(\sigma) = \frac{\partial \gamma(\sigma)}{\partial \sigma} \rightarrow C = \frac{\partial \epsilon}{\partial \sigma} = \frac{\partial^2 \gamma(\sigma)}{\partial \sigma \partial \sigma}$ Tensor di cedevolezza (4° ord.)

$\gamma(\sigma_{ij}) \rightarrow \epsilon_{ij} = \frac{\partial \gamma}{\partial \sigma_{kl}} \rightarrow C_{ijkl} = \frac{\partial \epsilon_{ij}}{\partial \sigma_{kl}} = \frac{\partial^2 \gamma}{\partial \sigma_{ij} \partial \sigma_{kl}}$ cedevolezza tangente

$C = E^{-1}; E = C^{-1}$ (invertibilità garantita dalla definizione positiva supposta)

$w(\epsilon) \rightarrow \sigma(\epsilon) = \frac{\partial w(\epsilon)}{\partial \epsilon} \rightarrow E = \frac{\partial \sigma}{\partial \epsilon} = \frac{\partial^2 w(\epsilon)}{\partial \epsilon \partial \epsilon}$ Tensor di rigidità (4° ord.)

$w(\epsilon_{ij}) \rightarrow \sigma_{ij} = \frac{\partial w}{\partial \epsilon_{ij}} \rightarrow E_{ijkl} = \frac{\partial^2 w}{\partial \epsilon_{ij} \partial \epsilon_{kl}}$ rigidità tangente

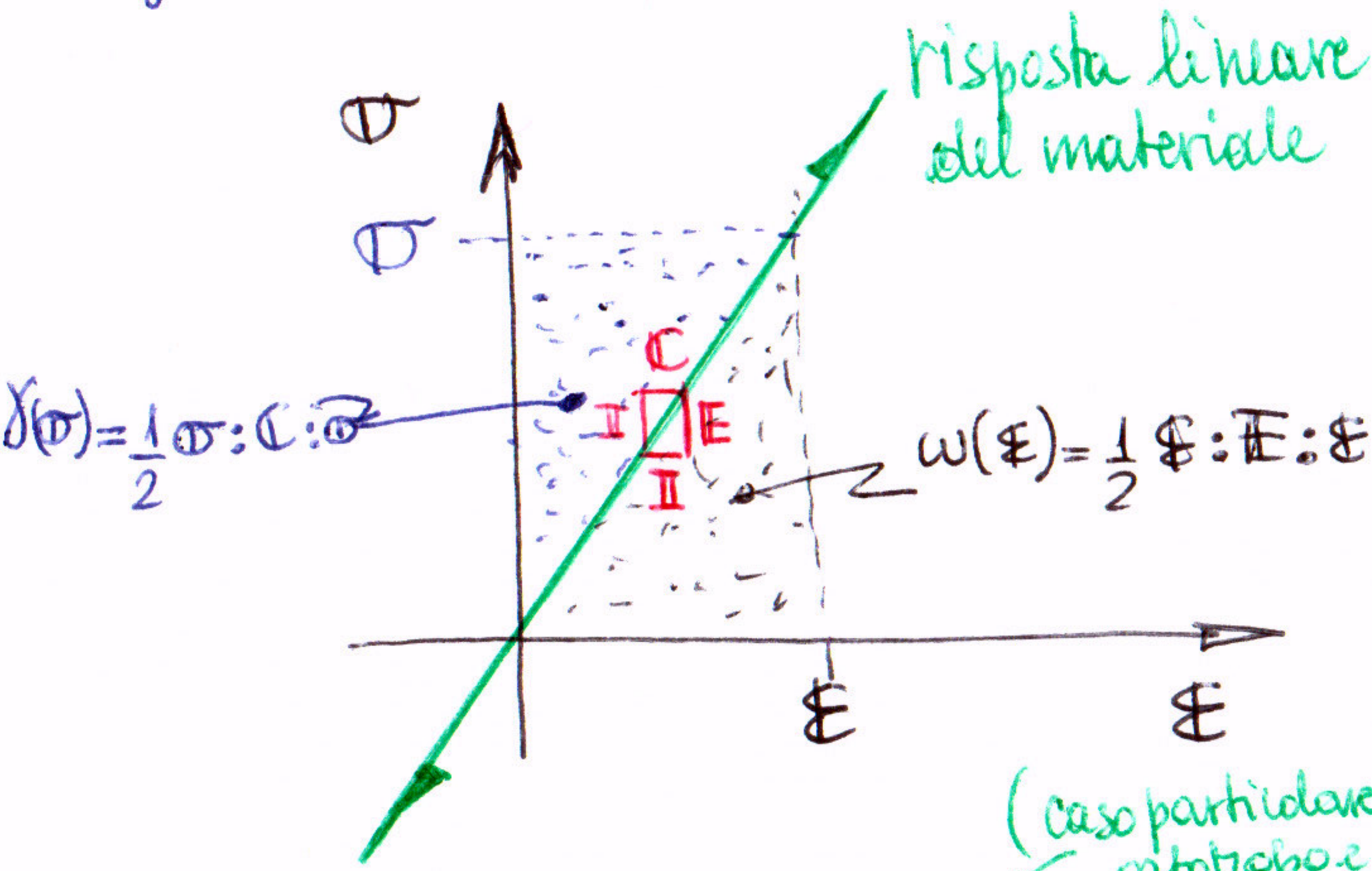
- simmetrie maggiori: $C_{ijkl} = C_{klij}$
 - simmetrie minori: $C_{ijkl} = C_{jikl} = C_{ijlk}$
- \rightarrow 21 comp. ti indipendenti

- simmetrie maggiori: $E_{ijkl} = E_{klij}$ (da Th. Schwarz)
 - simmetrie minori: $E_{ijkl} = E_{jikl} = E_{ijlk}$ (da simmetria di ϵ e di σ)
- $= \frac{\partial^2 \sigma_{ij}}{\partial \epsilon_{kl} \partial \epsilon_{kl}}$ 81 = 3^4 componenti
- \rightarrow 36 comp. simmetrie minori
- \rightarrow 21 comp. simmetrie maggiori

Legame elastico lineare

In questo caso $w(\epsilon)$ e $\gamma(\sigma)$ risultano numericamente uguali e pari alle metà del lavoro di deformazione $\sigma : \epsilon = \epsilon : \sigma$

erizzi@unibg.it



forme quadratiche

$$w(\epsilon) = \frac{1}{2} \epsilon : \underline{E} : \epsilon$$

$$\sigma = \frac{\partial w}{\partial \epsilon} = \underline{E} : \epsilon$$

lineari LEGGE COSTITUTIVA

$$\underline{E} = \frac{\partial \sigma}{\partial \epsilon} = \frac{\partial^2 w}{\partial \epsilon \partial \epsilon} = \underline{E}$$

costanti

$$\gamma(\sigma) = \frac{1}{2} \sigma : \underline{C} : \sigma$$

$$\epsilon = \frac{\partial \gamma}{\partial \sigma} = \underline{C} : \sigma$$

$$\underline{C} = \frac{\partial \epsilon}{\partial \sigma} = \frac{\partial^2 \gamma}{\partial \sigma \partial \sigma} = \underline{C}$$

21 parametri C_{ij} cost.

Materiale elastico lineare isotropo

- Ha comportamento meccanico indipendente dalla direzione
- Descritto da 2 parametri indipendenti (21 \rightarrow 2 param.)
- Legge costitutiva (legge di Hooke generalizzata):

$$\sigma = \lambda \text{tr} \epsilon \mathbf{I} + 2\mu \epsilon$$

$$\epsilon = -\frac{\nu}{E} \text{tr} \sigma \mathbf{I} + \frac{1+\nu}{E} \sigma$$

(non di senso fisso) \rightarrow 1^a costante di Lamé $\mu = G$ modulo di taglio

2^a costante di Lamé λ

E : modulo di Young
 ν : coefficiente di Poisson

(ogni direzione
 2 assi di simmetria
 rotazionale)
 \rightarrow coppie di simm.

$$[\underline{E}] = [\underline{C}]^{-1}$$

Rappresentazione matriciale della legge costitutiva: $\{\epsilon\} = [\underline{C}]\{\sigma\}$

$$\begin{bmatrix} \epsilon_{11} \\ \epsilon_{22} \\ \epsilon_{33} \\ \gamma_{12} = 2\epsilon_{12} \\ \gamma_{23} = 2\epsilon_{23} \\ \gamma_{31} = 2\epsilon_{31} \end{bmatrix} = \begin{bmatrix} C_{11} & & & & & \\ & C_{22} & & & & \\ & & C_{33} & & & \\ & & & C_{12} & & \\ & & & & C_{23} & \\ & & & & & C_{31} \end{bmatrix} \begin{bmatrix} \sigma_{11} \\ \sigma_{22} \\ \sigma_{33} \\ \sigma_{12} = \tau_{12} \\ \sigma_{23} = \tau_{23} \\ \sigma_{31} = \tau_{31} \end{bmatrix}$$

- Relazioni tra i parametri:

$$\lambda = \frac{\nu E}{(1+\nu)(1-2\nu)}, \quad G = \frac{E}{2(1+\nu)}, \quad K = \frac{E}{3(1-2\nu)}$$

modulo di volume

- Disaccoppiamento tra risposta volumetrica e deviatorica: isot.

$p = K v, \quad v = \frac{p}{K}$

$\epsilon = 2G e, \quad e = \frac{\epsilon}{2G}$

deviatore di sforzo ϵ , deviatore di deformazione e

Materiali trasversalmente isotropo

1^a asse di simmetria rotazionale
 isotropo nel piano ad esso \perp
 3^o T di ret. trasversa

$$[\underline{C}] = \begin{bmatrix} \frac{1}{E} & -\frac{\nu}{E} & -\frac{\nu}{E} \\ -\frac{\nu}{E} & \frac{1}{E} & -\frac{\nu}{E} \\ -\frac{\nu}{E} & -\frac{\nu}{E} & \frac{1}{E} \\ & & & \frac{1}{G} \\ & & & & \frac{1}{G} \\ & & & & & \frac{1}{G} \end{bmatrix}$$

21 \rightarrow 5 param.

$E_1 = E_2 = E, \quad E_T = E_3$
 $G_T = G_{23} = G_{31}$
 $\nu, \nu_T = \nu_{31} = \nu_{32}$
 $\nu_{12} = \nu_{21} = \frac{E}{2(1+\nu)}$

Ortotropo: soli 3 piani di simmetria mutuam. \perp

21 \rightarrow 9 parametri:

E_1, E_2, E_3
 G_{12}, G_{23}, G_{31}
 $\nu_{12}, \nu_{13}, \nu_{23}$

6x1 vettore delle comp. di deformazione

6x6 matrice di deviatorica simmetrica

6x1 vettore delle comp. di sforzo

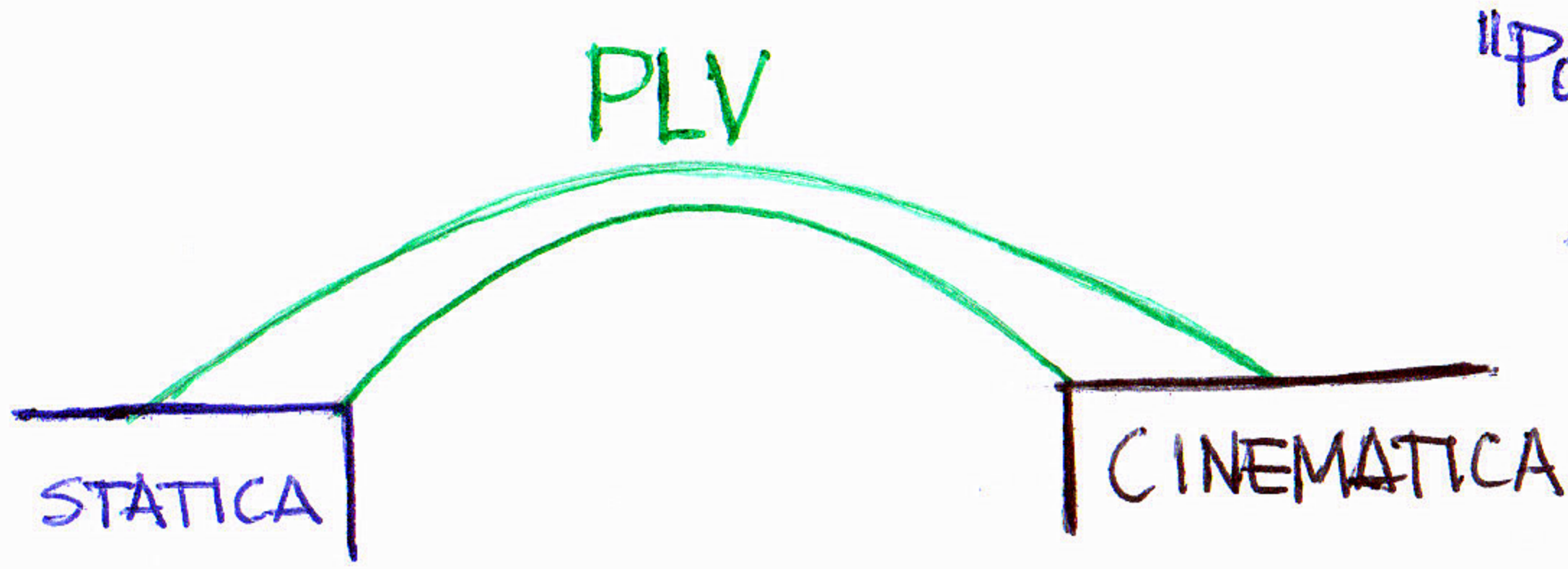
Materiali ortotropo

3 ortotropie mutuam. \perp (es. materiale con fibre mutuamente \perp , composito).

$$\begin{bmatrix} \frac{1}{E_1} & -\frac{\nu_{12}}{E_2} & -\frac{\nu_{13}}{E_3} \\ -\frac{\nu_{21}}{E_1} & \frac{1}{E_2} & -\frac{\nu_{23}}{E_3} \\ -\frac{\nu_{31}}{E_1} & -\frac{\nu_{32}}{E_2} & \frac{1}{E_3} \\ & & & \frac{1}{G_{12}} \\ & & & & \frac{1}{G_{23}} \\ & & & & & \frac{1}{G_{31}} \end{bmatrix}$$

6x6 - 6 + 6 = 15 + 6 = 21 coefficienti

es. $\nu_{21} = \frac{\nu_{12}}{E_1}, \nu_{31} = \frac{\nu_{13}}{E_1}, \nu_{32} = \frac{\nu_{23}}{E_2}$ ($\frac{\nu_{ji}}{E_i} = \frac{\nu_{ij}}{E_j}$)



"Ponte" tra la Statica e la Cinematica
(peraltro non aggiunge nuove eq. ni governanti)

Sistema A
(staticamente ammiss.)
Famiglia di quantità statiche F, f, σ^A :
 $\text{div } \sigma^A + F = 0 \text{ in } V$
 $\pi \cdot \sigma^A = f \text{ su } S_f$

Sistema B
(cinematicamente ammissibile)
Famiglia di quantità cinematiche $\vartheta, \delta, \varepsilon^B$:
 $\varepsilon^B = \frac{1}{2} (\nabla \delta + \nabla \delta^T) \text{ in } V$
 $\delta = \delta \text{ su } S_\delta$

Enunciato del PLV (quale CN di equilibrio e di congruenza):

V Sistema A static. amm.
Sistema B cinem. amm. } $\Rightarrow \int_{L_e}^{AB} = \int_{L_i}^{AB}$ con $L_e^{AB} = \int_V F \cdot \delta \, dV + \int_{S_f} f \cdot \delta \, dS + \int_{S_\delta} \pi \cdot \sigma^A \cdot \delta \, dS$; $L_i^{AB} = \int_V \sigma^A : \varepsilon^B \, dV$

Lavoro esterno Lavoro interno

N.B.: Sistemi in generale virtuali, non necessariamente reali, fittizi -

Manifestazioni del PLV (CS):

Principio degli Spostamenti Virtuali
(CS di equilibrio): PSV
Sistema B cinem. amm. } \Rightarrow Sistema A static. amm. (cioè equilibrato)
 $L_e^{AB} = L_i^{AB}$

Principio delle Forze Virtuali
(CS di congruenza): PFV
Sistema A static. amm. } \Rightarrow Sistema B cinem. amm. (cioè congruente)
 $L_e^{AB} = L_i^{AB}$

Dimostrazione della CN, tramite Teorema della Divergenza (si potrebbe parlare di Teorema dei Lavori Virtuali - TLV)

Th. Div.: $\int_V \text{div } g \, dV = \int_S \pi \cdot g \, dS$ g : campo tensoriale (es. vettore)
 g_i

ε parte simm ($\varepsilon^T = \varepsilon$) $\nabla \delta = \varepsilon + \vartheta$
 ϑ parte emisim. ($\vartheta^T = -\vartheta$) $\nabla \delta^T = \varepsilon^T + \vartheta^T$
 $i=j: \vartheta_{ii} = 0; i \neq j: \vartheta_{ji} = -\vartheta_{ij}$

$\sigma : \vartheta = 0$ poiché σ simm. e ϑ emisim.

Sia $g = \sigma \cdot \delta \Leftrightarrow g_i = \sigma_{ij} \delta_j$. Allora: $\text{div } g = g_{i,j} = \sigma_{ij,j} \delta_j + \sigma_{ij} \delta_{j,i} = (\text{div } \sigma) \cdot \delta + \sigma : \nabla \delta$
Quindi: $\boxed{\text{div}(\sigma \cdot \delta) = (\text{div } \sigma) \cdot \delta + \sigma : \varepsilon^{(T)}}$ $\Rightarrow \sigma : \varepsilon = \text{div}(\sigma \cdot \delta) - (\text{div } \sigma) \cdot \delta$

Pertanto:
 $L_i^{AB} = \int_V \sigma^A : \varepsilon^B \, dV = \int_V \text{div}(\sigma^A \cdot \delta^B) \, dV - \int_V (\text{div } \sigma^A) \cdot \delta^B \, dV \stackrel{\text{Th. Div.}}{=} \int_S \pi \cdot \sigma^A \cdot \delta^B \, dS - \int_V (\text{div } \sigma^A) \cdot \delta^B \, dV = \int_{S_f} f^A \cdot \delta^B \, dS + \int_{S_\delta} \pi \cdot \sigma^A \cdot \delta^B \, dS + \int_V F^A \cdot \delta^B \, dV = L_e^{AB} \text{ e.v.d.}$

Si deduce quindi che il TLV valga anche nell'ambito della Meccanica delle Strutture

$\sigma_{ij} \vartheta_{ji} = \sigma_{11} \vartheta_{11} + \sigma_{12} \vartheta_{21} + \dots + \sigma_{21} \vartheta_{12} + \dots - \sigma_{12} \vartheta_{12} + \dots + \sigma_{12} \vartheta_{12} + \dots = 0$

σ simm. e ϑ emisim. sono mutuamente ortogonali:
 $\sigma : \vartheta = \sigma : \vartheta^T = 0$

• Proprietà del pb. elastico lineare
(o sovrapposibilità)

- Principio di Sovrapposizione degli Effetti (PSE) :

	<u>DATI</u>		<u>SOLUZIONE</u>
Sistema ① :	$\mathbb{F}^1, \mathbf{f}^1, \bar{\mathbf{d}}^1$	\rightarrow	$\boldsymbol{\sigma}^1, \boldsymbol{\varepsilon}^1, \boldsymbol{\Delta}^1$
Sistema ② :	$\mathbb{F}^2, \mathbf{f}^2, \bar{\mathbf{d}}^2$	\rightarrow	$\boldsymbol{\sigma}^2, \boldsymbol{\varepsilon}^2, \boldsymbol{\Delta}^2$
	$\alpha \mathbb{F}^1 + \beta \mathbb{F}^2,$ $\alpha \mathbf{f}^1 + \beta \mathbf{f}^2,$ $\alpha \bar{\mathbf{d}}^1 + \beta \bar{\mathbf{d}}^2$	\rightarrow	$\alpha \boldsymbol{\sigma}^1 + \beta \boldsymbol{\sigma}^2,$ $\alpha \boldsymbol{\varepsilon}^1 + \beta \boldsymbol{\varepsilon}^2,$ $\alpha \boldsymbol{\Delta}^1 + \beta \boldsymbol{\Delta}^2$
	combinazione lineare dei dati		combinaz. lin. delle soluzioni

Una combinazione lineare dei dati di partenza origina, come soluzione, la corrispondente combinazione lineare delle soluzioni.

Infatti tutti gli operatori, algebrici e differenziali, coinvolti nelle eq. governanti risultano lineari.

Ad es. : $\text{div}(\alpha \boldsymbol{\sigma}^1 + \beta \boldsymbol{\sigma}^2) = \alpha \text{div} \boldsymbol{\sigma}^1 + \beta \text{div} \boldsymbol{\sigma}^2$

- Buona posizione (\exists un numero finito di soluzioni linearmente indipendenti, con dipendenza continua dai dati)

- \exists la soluzione (può essere dimostrato - v. ad es. riferimenti in Sokolnikoff, 1956) -
- $\exists!$ soluzione (unicità della soluzione del pb. elastico lineare) \Rightarrow Th. di Kirchhoff ~ 1859

Dimostrazione (per assurdo)

• Hp: \exists due soluzioni distinte per gli stessi dati $\mathbb{F}, \mathbf{f}, \bar{\mathbf{d}} \Rightarrow \boldsymbol{\sigma}^1 \neq \boldsymbol{\sigma}^2, \boldsymbol{\varepsilon}^1 \neq \boldsymbol{\varepsilon}^2, \boldsymbol{\Delta}^1 \neq \boldsymbol{\Delta}^2$

- Dal PSE, ponendo $\alpha = -\beta = 1$, con $\mathbb{F} = \mathbb{F}^1 = \mathbb{F}^2, \mathbf{f} = \mathbf{f}^1 = \mathbf{f}^2, \bar{\mathbf{d}} = \bar{\mathbf{d}}^1 = \bar{\mathbf{d}}^2$:

$\Delta \mathbb{F} = 0, \Delta \mathbf{f} = 0, \Delta \bar{\mathbf{d}} = 0 \Rightarrow \Delta \boldsymbol{\sigma} = \boldsymbol{\sigma}^1 - \boldsymbol{\sigma}^2 \neq 0, \Delta \boldsymbol{\varepsilon} = \boldsymbol{\varepsilon}^1 - \boldsymbol{\varepsilon}^2 \neq 0, \Delta \boldsymbol{\Delta} = \boldsymbol{\Delta}^1 - \boldsymbol{\Delta}^2 \neq 0$
(con $\Delta \boldsymbol{\sigma} = \mathbb{C} : \Delta \boldsymbol{\varepsilon}, \Delta \boldsymbol{\varepsilon} = \mathbb{E} : \Delta \boldsymbol{\sigma}$ da legame costitutivo)

- Utilizzando il PLV, con $A \equiv B \equiv$ sistema reale:

$L_e = 0 = L_i = 2 \int_V \frac{1}{2} \Delta \boldsymbol{\sigma} : \Delta \boldsymbol{\varepsilon} dV = 2 \int_V \underbrace{\omega(\Delta \boldsymbol{\varepsilon})}_{> 0 \forall \Delta \boldsymbol{\varepsilon} \neq 0 \text{ (def. pos.)}} dV \Rightarrow \Delta \boldsymbol{\varepsilon} = 0 \Rightarrow \Delta \boldsymbol{\sigma} = 0$, violando le ipotesi iniziali \rightarrow assurdo

- Unicità della soluzione in termini di $\boldsymbol{\varepsilon}$ e $\boldsymbol{\sigma}$ (non di $\boldsymbol{\Delta}$ - Infatti $\boldsymbol{\Delta}$ può essere noto a meno di moti rigidi, ad es. quando non vi sono spostamenti imposti - v. pb. di BSV).

- Cruciali per l'unicità: la linearità (uso del PSE) e l'elasticità (\exists di energie di def. ne $w(\boldsymbol{\varepsilon})$ def. pos.)

- Esempio tipico di non unicità: instabilità dell'equilibrio per non linearità geometrica (spostamenti grandi, cioè tali da influenzare l'equilibrio) \uparrow v. Instabilità delle Strutture.

• Metodi risolutivi

- Approccio analitico
(spesso non proponibile in forma chiusa)

- Diretto: Dati \rightarrow Soluzione - Raramente percorribile in forma chiusa
- Semi-inverso: Dati \rightarrow Soluz. nota a meno di un certo numero di parametri. Si verif. le eq. governanti e la corrisp. coi dati fissi i param. inc.
- Inverso: Soluzione \rightarrow Dati - Si ricostruiscono i dati che possono originare una data soluz. Idem, diffic. soluz.

- Approccio numerico \rightarrow v. Meccanica Computazionale dei Solidi e delle Strutture
- Metodo degli Elementi Finiti (FEM)
- " " Elementi di Contorno (BEM)
- " delle Differenze Finite (FD)
- Tramite DISCRETIZZAZIONE (∞ grad \rightarrow n.° finito di grad) 16a (2)